

## Análise de deformação em chapas com fronteira curva usando grupo de Elementos Finitos pré-estabelecidos

Carlos Roberto A. Barcellos<sup>1</sup>

Programa de Pós-Graduação em Engenharia Metalúrgica e de Materiais – Propemm, IFES, Vitória, ES  
Gustavo A. Lima<sup>2</sup>

Engenharia Mecânica, IFES, São Mateus, ES

Werley G. Facco<sup>3</sup>

Coordenadoria de Formação Geral, IFES, São Mateus, ES

Alex S. Moura<sup>4</sup>

Departamento de Economia, UFJF, Governador Valadares, MG

Estéfano A. Vieira<sup>5</sup>

Programa de Pós-Graduação em Engenharia Metalúrgica e de Materiais – Propemm, IFES, Vitória, ES

Na implementação do Método de Elementos Finitos (MEF), pode ocorrer erro de aproximação ao cobrir o domínio computacional com malhas de elementos finitos [3]. Este trabalho visa utilizar alguns elementos finitos com curvaturas conhecidas para melhor aproximar contornos reais suaves em partes e reduzir o erro de aproximação ao cobrir o domínio computacional do problema.

Nesta proposta,  $\Omega_e^T$  é um elemento intermediário no mapeamento entre o elemento finito físico ( $\Omega_e$ ) e o de referência ( $\Omega_e^R$ ), Fig. 1. O mapeamento  $\psi$ , Equação 1, associa  $\Omega_e$  e  $\Omega_e^T$ . O mapeamento  $\phi$ , Equação 2, leva  $\Omega_e^T$  em  $\Omega_e^R$  e depende de  $c(\theta)$ , fronteira curva de  $\Omega_e^T$  em coordenadas polares.

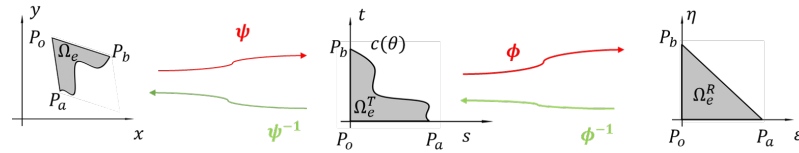


Figura 1: Mapeamentos entre o elemento físico ( $\Omega_e$ ), intermediário ( $\Omega_e^T$ ) e de referência ( $\Omega_e^R$ ).

$$\psi(x, y) = \frac{1}{\alpha} \left\{ \begin{bmatrix} y_b - y_o & x_o - x_b \\ y_o - y_a & x_a - x_o \end{bmatrix} \begin{bmatrix} x \\ y \end{bmatrix} - \begin{bmatrix} x_o(y_o - y_b) - y_o(x_b - x_o) \\ x_o(y_a - y_o) - y_o(x_a - x_o) \end{bmatrix} \right\} \quad (1)$$

em que  $\alpha = (x_a - x_o)(y_b - y_o) - (x_b - x_o)(y_a - y_o)$ .

$$\phi(s, t) = \begin{bmatrix} s \frac{\sqrt{s^2+t^2}}{c(\theta) \cdot (s+t)} \\ t \frac{\sqrt{s^2+t^2}}{c(\theta) \cdot (s+t)} \end{bmatrix} \quad (2)$$

Os elementos da matriz de rigidez do MEF são obtidos pela Equação 3, em que  $N_a$  e  $N_b$  são funções de forma; e  $x_1$  e  $x_2$  são quaisquer das coordenadas  $x$  ou  $y$  [2]. Pela regra da cadeia, tem-se

<sup>1</sup>barcello@gmail.com

<sup>2</sup>2001gustavoalves@gmail.com

<sup>3</sup>werleyfacco@ifes.edu.br

<sup>4</sup>alexsmoura100@gmail.com

<sup>5</sup>estefanovieira@gmail.com

a Equação 4, em que  $s_1 = s$ ,  $s_2 = t$ ,  $\varepsilon_1 = \varepsilon$ ,  $\varepsilon_2 = \eta$ ,  $|J_\psi|$  é o Jacobiano de  $\psi$  e  $A_{(i,j,k,l)}$  segue a Equação 5. Como  $A_{(i,j,k,l)}$  depende apenas do mapeamento  $\phi$  e das funções de forma definidas em  $\Omega_e^R$ , podem ser inseridos como parâmetros de entrada desde que conhecido  $c(\theta)$ .

$$K_{(m,n)} = \int \frac{\partial N_a}{\partial x_1} \frac{\partial N_b}{\partial x_2} d\Omega \quad (3)$$

$$\int \frac{\partial N_a}{\partial x_1} \frac{\partial N_b}{\partial x_2} d\Omega = \sum_{i=1}^2 \sum_{j=1}^2 \sum_{k=1}^2 \sum_{l=1}^2 \left( A_{(i,j,k,l)} |J_\psi| \frac{\partial s_j}{\partial x_1} \frac{\partial s_l}{\partial x_2} \right) \quad (4)$$

$$A_{(i,j,k,l)} = \int \frac{\partial N_a(s,t)}{\partial \varepsilon_i} \frac{\partial N_b(s,t)}{\partial \varepsilon_k} \frac{\partial \varepsilon_i}{\partial s_j} \frac{\partial \varepsilon_k}{\partial s_l} d\Omega_e^T \quad (5)$$

Foram gerados  $A_{(i,j,k,l)}$  para 13 geometrias de  $\Omega_e^T$ , cada qual com um arco de circunferência na região curva. Dado um ponto na fronteira curva em  $\Omega_e$ , foi selecionado o elemento intermediário cuja circunferência mais se aproximava desse ponto mapeado por  $\psi$ . Fez-se a análise de deformações em chapas conforme [2]. O domínio computacional é uma chapa quadrada tensionada com um furo central de contorno irregular. Para uma mesma malha, foi simulado o problema com a adaptação e com todos os elementos triangulares. O erro calculado foi o erro relativo da norma  $L_2(\Omega)$ , conforme [1]. A proposta gerou redução do erro de até 32,39% e 36,00% nos deslocamentos em  $x$  e  $y$ , respectivamente. Houve acréscimo de tempo, mas o erro obtido pela adaptação foi similar à esperada na análise padrão para um mesmo tempo de computação, conforme Fig. 2. Logo, a proposta auxilia na redução do número de graus de liberdade.

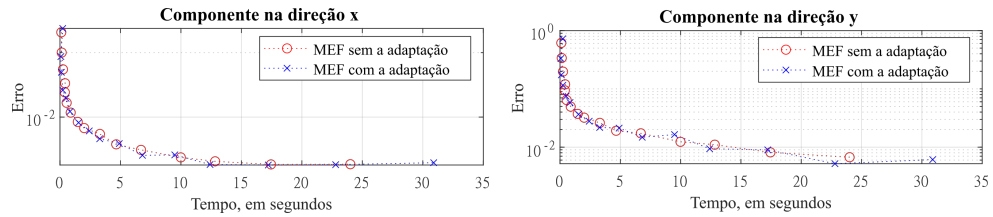


Figura 2: Variação do erro no cálculo dos deslocamentos conforme tempo de computação.

Portanto, a proposta reduziu a discrepância na representação do domínio computacional e no erro encontrado na simulação. O acréscimo de tempo pouco compromete a eficácia do trabalho. A proposta tende a ser melhor aproveitada quando aplicada no MEFG ou no MEF com funções de alta ordem, uma vez que tais métodos são melhor empregados em malhas mais grossas.

## Agradecimentos

Esse trabalho possui suporte em parte pela FAPES, FAPEMIG, CNPq e CAPES.

## Referências

- [1] W. G. Facco. “Tratamento de descontinuidade de material no Método de Elementos Finitos Generalizado”. Tese de doutorado. Universidade Federal de Minas Gerais, 2012.
- [2] N. KIM e B. V. SANKAR. **Introduction to Finite Element Analysis and Design**. 2012.
- [3] R. Sevilha. “UHDG-NEFEM for two dimensional linear elasticity”. Em: **Computers Structures** (2019), pp. 69–80.